

ЛЮМІНЕСЦЕНТНА СПЕКТРОСКОПІЯ КРИСТАЛІВ RbCaCl_3 В ОБЛАСТІ ВАКУУМНОГО УЛЬТРАФІОЛЕТУ

М. С. Михайлик

Львівський державний університет імені Івана Франка,
кафедра експериментальної фізики,
бул. Кирила і Мефодія, 8, Львів, 290005, Україна
(Отримано 12 січня 1999 р.)

Подано результати досліджень люмінесцентних властивостей кристалів RbCaCl_3 при збудженні синхротронним випромінюванням в області 5–40 еВ. Дані люмінесцентної спектроскопії підтверджують екситонну природу власного свічення цих кристалів. Запропонована інтерпретація особливостей структури спектрів збудження люмінесценції, що здійснена з використанням даних про наближену енергетичну зонну схему RbCaCl_3 та традиційні механізми релаксації високогенеретичних збуджень у твердих тілах (непружене розсіяння фотоелектронів, Оже-процес, безвипромінювальний розпад на дефектах).

Ключові слова: люмінесценція автолокаційних екситонів, спектри збудження люмінесценції, фотонне помноження.

PACS numbers: 78.55.Fv

I. ВСТУП

Поглинання високогенеретичного рентгенівського чи γ -кванта кристалами приводить до появи великого числа оптичних фотонів, що є результатом багатоступеневого процесу релаксації або ж своєрідного розміну окремого високогенеретичного збудження на багато низькоенеретичних елементарних збуджень. Елементарний акт такого процесу, тобто створення двох квантів оптичного випромінювання одним фотоном з ВУФ-області спектра, назвали фотонним помноженням [1]. Цей процес характеризується наявністю певних порогових енергій, при яких у спектрах збудження люмінесценції спостерігається ступінчасте нарощання світловихходу, тоді як при інших енергіях зміна інтенсивності люмінесценції виражена значно слабше (див. поклики [2–4]).

Слід зазначити, що вивчення процесів фотонного помноження у твердих тілах має, крім фундаментального, ще й сутєвий спрямування. Воно пов’язане насамперед з розробкою нового покоління люмінофорів для приладів, у яких необхідна візуалізація ВУФ-випромінювання плазми інертних газів, а саме плазмових дисплейних панелей та безртутних люмінесцентних джерел світла. Механізм фотонного помноження розглянуто як один із найпридатніших для збільшення квантового виходу таких люмінофорів [5]. З огляду на те дослідження спектрів збудження люмінесценції кристалів у широкому спектральному діапазоні, поряд з інформацією про особливості релаксації електронних збуджень у твердих тілах, дають змогу здійснювати пошук нових матеріалів, придатних для використання в ролі матриць для ВУФ-люмінофорів.

Як один з перспективних класів таких сполук розглянуто кристали окисних тагалоїдних перовскітів. Дослідження останніх років показують, що в цих

сполуках реалізуються різні механізми збудження домішкової люмінесценції: внутрішньоцентровий, екситонний та рекомбінаційний [6–9]. Нещодавно було показано, що екситонний механізм збудження є дуже ефективним у кристалах хлористих первовскітів з домішками церію, то ж вияснення особливостей релаксації власних електронних збуджень у чистих кристалах становить особливий інтерес.

У цій роботі наведено результати досліджень люмінесцентних властивостей кристала RbCaCl_3 при збудженні синхротронним випромінюванням ВУФ-області спектра (5–40 еВ). Застосування синхротронного випромінювання для експериментів у цьому спектральному інтервалі дає змогу селективно створювати лише певні типи елементарних збуджень і є ефективним методом дослідження їх релаксації.

II. МЕТОДИКА ДОСЛІДЖЕНЬ

Монокристали RbCaCl_3 були вирощені методом Бріджмена з еквімолярних сумішій монокристалічного хлориду рубідію та кальцію. Вимірювання люмінесцентних характеристик кристалів було проведено на станції SUPERLUMI в Гамбурзькій синхротронній лабораторії HASYLAB (Гамбург, Німеччина). Випромінювання від синхротронного джерела спрямовували на кристал через двометровий вакуумний монохроматор нормального падіння (спектральна ширина вихідної щілини $\sim 0.2 \text{ нм}$). Реєстрацію люмінесценції зразка, що кріпився на тримачі гелієвого кріостата, здійснювали за допомогою фотопомножувача R2059 через вторинний монохроматор BM 50. Аналіз спектрально-кінетичних параметрів випромінювання здійснювали за допомогою методики спектроскопії з часовим розділенням.

ІІІ. СПЕКТРИ ЛЮМІНЕСЦЕНЦІЇ ТА КІНЕТИКА ПІСЛЯСВІЧЕННЯ

Власну люмінесценцію кристалів RbCaCl_3 досліджували раніше з використанням імпульсного рентгенівського джерела [10]. Було показано, що смуга люмінесценції з максимумом 2.65 еВ при температурі зрідженого азоту має складну кінетику післясвічення з короткою (≈ 4 нс) та довгою (> 1 мкс) складовою, що зумовлені випромінюванням розпадом незміщеного автолокалізованого екситона (ALE) типу ($V_k + e^-$). На рис. 1 наведені спектри люмінесценції кристала RbCaCl_3 , одержані при збудженні в області фундаментального поглинання ($h\nu = 10.0$ еВ). Як видно з наведених даних, спектр люмінесценції при 9 К має гаусівський контур з максимумом в околі 2.7 еВ і півшириною ~ 0.6 еВ, що корелують з попередніми результатами [10]. Зауважимо, що параметри спектра випромінювання є ідентичними при збудженні як в області екситонного (7.5-9 еВ), так і фундаментального поглинання.

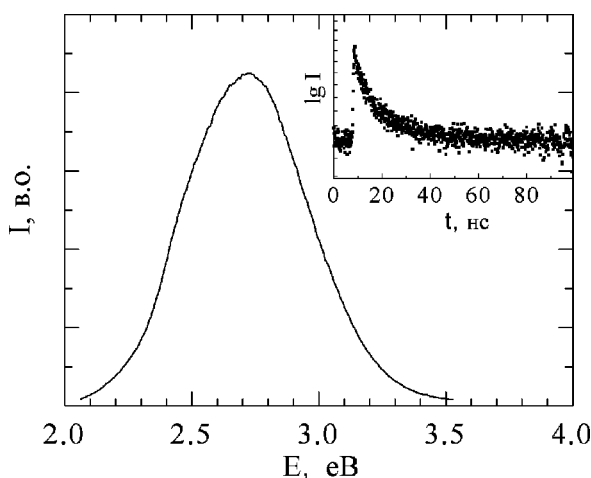


Рис. 1. Спектр люмінесценції кристала RbCaCl_3 при збудженні фотонами з енергією $h\nu = 10.0$ еВ ($T = 9$ К). На вставці — крива кінетики післясвічення смуги 2.7 еВ

Крива кінетики післясвічення цієї смуги випромінювання зображена на вставці до рис. 1. Як і при рентгенівському збудженні, інтенсивність свічення спадає за складним законом, однак, як і в попередньому випадку, можна виділити швидку ($\tau = 4.5$ нс) та повільну складові. Тривалість довгої компоненти післясвічення важко розрахувати з задовільною точністю в силу апаратурних особливостей методики вимірювань; можна зробити лише оцінку, згідно з якою ця величина є достеменно більшою, аніж 10^{-6} с. Одержані спектральні та кінетичні параметри власної люмінесценції кристала RbCaCl_3 в загальному добре корелують із результатами рентгенолюмінесцентних досліджень і підтверджують

попередню інтерпретацію цього випромінювання як свічення АЛЕ.

ІV. СПЕКТРИ ЗБУДЖЕННЯ ВЛАСНОЇ ЛЮМІНЕСЦЕНЦІЇ

Найпринциповіша інформація стосовно особливостей релаксації високоенергетичних збуджень на етапі, що передує їх випромінювальному розпаду, може бути одержана з аналізу спектра збудження люмінесценції. На його структуру впливає значне число факторів, серед яких найсуттєвішими є такі. Первіші — це значення коефіцієнта поглинання, що визначає глибину проникнення фотонів, від якої своюю чергою залежить співвідношення ймовірностей для безвипромінювального та випромінювального розпаду високоенергетичних збуджень. Так, згідно з моделлю дифузного наближення, якщо глибина проникнення квантів d є більшою, аніж ефективна довжина дифузії утворених екситонів чи електрон-діркових пар D , то такі первинні збудження переважно розпадаються шляхом випромінювальної рекомбінації [11]. У протилежному випадку ($d < D$) значно зростає ймовірність безвипромінювальної релаксації внаслідок міграції та передачі енергії до поверхні. Дійсно, ефективна довжина дифузії вільних носіїв заряду, створених ВУФ-випромінюванням, становить порядку 10–100 нм. Водночас глибина проникнення квантів з енергією, що відповідає максимуму смуги екситонного поглинання, зменшується до 10 нм. Очевидно, що в цьому випадку значна частина елементарних збуджень рекомбінує безвипромінювально біля поверхні кристала, не даючи вкладу у свічення.

Другим принциповим фактором, який детермінує загальні тенденції змін у спектрах збудження люмінесценції, є ефективність формування елементарних збуджень у різних електронних оболонках кристала. З цим прямо пов’язана поява порогів фотонного помноження при енергіях, що кратні певним характерним параметрам енергетичної структури (E_g, E_c). Розрізняють два механізми фотонного помноження, викликані (i) непроручним розсіянням фотоелектронів, утворених фотонами з енергією $h\nu > 2E_g, E_g + E_c$, і т.д. та (ii) Оже-релаксацією остаточних дірок за участю електронів валентної зони [12]. Сумарний вплив цих, а також ряду інших чинників створює специфічну картину релаксації високоенергетичних збуджень у твердих тілах, що знаходить свій вияв у складній структурі спектрів збудження люмінесценції.

Цілком очевидно, що будь-яка спроба інтерпретації спектрів збудження люмінесценції повинна базуватися на певних припущеннях стосовно енергетичної зонної структури об’єкта дослідження. У зв’язку з обмеженими даними про енергетичну структуру кристала RbCaCl_3 такі відомості в першому наближенні можуть бути одержані з аналізу спектральних характеристик простих галоїдів ($\text{RbCl}, \text{CaCl}_2$,

CaF₂) та складних хлоридів ABCl₃ зі структурою пєровскіту. Аналіз спектрів відбивання [13], а також збудження власної люмінесценції дає змогу оцінити значення ширини забороненої зони E_g для кристала RbCaCl₃, що становить близько 9 eV. Беручи до уваги результати досліджень рентгенівських фотоелектронних спектрів та спектрів остаточно-валентної люмінесценції близького за структурою кристала CsCaCl₃ [14], можна очікувати, що ширина валентної зони RbCaCl₃, утвореної, в основному, 3p-станами аніона Cl⁻, становить ~3 eV. Оскільки положення остаточних зон складних сполук визначається насамперед енергетичною структурою іонів, що входять до їхнього складу, то ймовірна енергетична схема RbCaCl₃ може бути спрогнозована досить точно. Отож, найвищу остатовну зону кристала формуватимуть 4p-стани катіона Rb⁺ з енергією фотойонізації ~16 eV, що корелює з відповідними параметрами чистого хлориду рубідію [15, 16]. Зауважимо, що для останнього кристала в області 16–18 eV спостерігаються чіткі піки у спектрах відбивання, що пов'язані з утворенням 4pRb⁺-катіонних екситонів [16]. Згідно з даними рентгенівської фотоелектронної спектроскопії, для кристала CsCaCl₃ [14] 3sCl⁻-стани розміщуються в околі 20 eV, тоді як глибші 3pCa²⁺-та 4sRb⁺-стани розташовані поблизу 28 та 34 eV, відповідно [17].

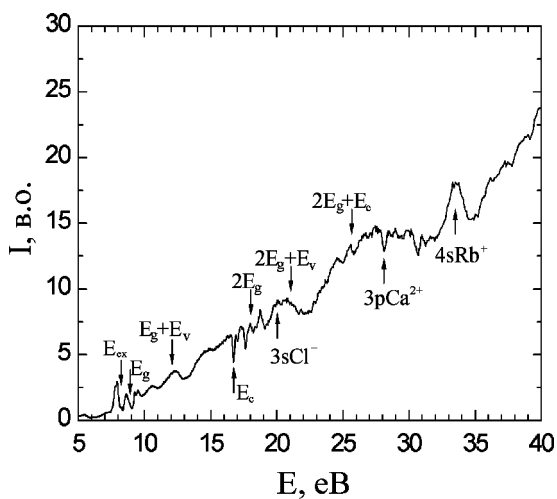


Рис. 2. Спектр збудження смуги люмінесценції з максимумом 2.7 eV у кристалі RbCaCl₃ ($T = 9$ K).

Отже, розглянемо, як зазначені особливості енергетичної структури кристала RbCaCl₃ проявляються у спектрах збудження люмінесценції АЛЕ. Як видно з рис. 2, інтенсивні піки, пов'язані зі збудженням власного свічення, спостерігаються при енергіях фотонів $h\nu < E_g$ (область екситонного поглинання 7.5–9 eV).

Така структура спектра збудження у припороговій області, де відбувається ефективне формування екситонів, є вагомим аргументом на користь екситонного походження власної люмінесценції [18]. Як і в

кристилах простих галоїдів, структура спектра в цій області зумовлена згаданим вище впливом поверхневих утрат, які є визначальними на ділянках спектра з великим поглинанням [3, 11, 12, 18]. Саме тому з максимумом екситонного відбивання збігається мінімум у спектрі збудження люмінесценції ($E_{ex} = 8.2$ eV).

Коли енергія квантів збудження перевищує значення E_g , у спектрі збудження люмінесценції спостерігається чітко окреслений підйом, який пов'язується з переходами з вершини валентної зони в зону провідності з утворенням вільних електрон–діркових пар. Зростом енергії квантів збудження у спектрі спостерігається поступове нарощання інтенсивності люмінесценції АЛЕ аж до $h\nu \approx 12.5$ eV, де у спектрі з'являється незначний спад. Ураховуючи, що ширина валентної зони RbCaCl₃ становить ~3 eV, можна припустити, що при енергіях $E_g + E_v \approx 12$ eV в переходах у зону провідності задіяні всі стани валентної зони. Отже, зменшення виходу люмінесценції з ростом енергії квантів збудження може бути викликане своєрідним виснаженням цих переходів, як це має місце в ряді інших сполук [4].

Наступною примітною особливістю спектра збудження люмінесценції АЛЕ в кристалі RbCaCl₃ є серія різких провалів в області 17–20 eV. Як випливає із запропонованої схеми енергетичної структури кристала, тут розташована область формування 4pRb⁺-катіонних екситонів. Тому структура спектра в цьому енергетичному інтервалі зумовлена поверхневими втратами, що є загальною особливістю спектрів збудження як власної, так і домішкової люмінесценції іонних сполук [2, 11, 12, 18, 19]. Слід зауважити, що саме в цій області розміщений також поріг фотонного помноження електронних збуджень $2E_g$ (див. рис. 2). Однак одночасна поява вторинних електронних збуджень унаслідок Оже-розділу 4pRb⁺-останніх дірок (помноження катіонних збуджень за механізмом (ii) внаслідок Оже-ефекту) значно ускладнює загальний вигляд спектра та ідентифікацію відповідного порога фотонного помноження [2].

Зростом енергії фотонів в околі розміщення 3sCl⁻-оболонки спостерігаємо нарощання інтенсивності люмінесценції АЛЕ аж до енергій $h\nu = 2E_g + E_v \approx 21$ eV, де у спектрі збудження реєструється падіння світловихходу. Цей спад, як і в області поблизу $E_g + E_v$, ми пов'язуємо з проявом ефекту виснаження переходів з валентної зони в зону провідності, що викликаний помноженням електронних збуджень при непружному розсіянні електронів з енергією $2E_g + E_v$. В околі енергії квантів $h\nu = E_g + E_c \approx 26$ eV розміщений поріг фотонного помноження за участь катіонних станів рубідію. Мінімум у спектрі збудження кристала RbCaCl₃, що проявляється при 28 eV, корелює з положенням максимуму відбивання катіонного 3pCa²⁺-екситона [16] і пояснюється впливом поверхневих утрат. В області 33–35 eV, де розміщений поріг фотозбудження 4sRb⁺-станів, спостерігаємо максимум світловихходу люмінесценції АЛЕ, після якого детектується неперервне нарощання інтенсивності свічення.

V. ВИСНОВКИ

Результати проведених досліджень спектрально-кінетичних характеристик люмінесценції дають підставу впевнено інтерпретувати власне свічення кристалів RbCaCl₃ як випромінювальний розпад АЛЕ. Останні формуються безпосередньо фотонами з енергією 7.5–9 eV в області екситонного поглинання або ж виникають унаслідок релаксації електрон-діркових пар при збудженні в області фундаментального поглинання ($\hbar\nu > 9 \text{ eV}$). Структура, що виникає у високоенергетичній частині спектра збудження, є результатом суперпозиції ефектів фотонного помноження низькоенергетичних електронних збуджень та

процесів включення у збудження переходів з високоенергетичних станів. Усе це суттєво ускладнює остаточну інтерпретацію експериментальних результатів, а запропоноване віднесення особливостей у спектрі збудження люмінесценції АЛЕ кристала RbCaCl₃ можна розглядати лише як першу наближену спробу, що передує подальшим дослідженням.

VI. ПОДЯКА

Висловлюю щиру подяку докторові фіз.-мат. наук А. С. Волошиновському за допомогу при отриманні експериментальних результатів та їх інтерпретації.

-
- [1] И. Илмас, Г. Г. Лайдя Ч. Б. Лушчик, Опт. спектроскоп. **18**, 255 (1963).
 - [2] A. Lushchik, M. Kirm, Ch. Lushchik, Rad. Meas. **24**, 365 (1995).
 - [3] V. Mikhailin, Nucl. Instrum. Methods **261**, 107 (1987).
 - [4] I. A. Kamenskikh, V. V. Mikhailin, I. N. Shpinkov A. N. Vasil'ev, Nucl. Instrum. Methods **282**, 599 (1989).
 - [5] C. R. Ronda, J. Alloys Comp. **225**, 534 (1995).
 - [6] C. M. Combes, P. Dorenbos, C. W. E. van Eijk, C. Pedrini, H. W. Den Hartog, J. Y. Gesland, P. A. Rodnyi, J. Lummin. **71**, 65 (1991).
 - [7] C. Dujardin, C. Pedrini, J. C. Gacon, A. G. Petrosyan, A. N. Belsky, A. N. Vasil'ev, J. Phys.: Cond. Matt. **9**, 5229 (1997).
 - [8] О. Т. Антоняк, А. С. Волошиновский, Е. Н. Мельчаков, М. С. Михайлик, Н. С. Пидзырайло, И. В. Стефанский, П. А. Родный, Опт. спектроскоп. **84**, 861 (1998).
 - [9] М. С. Михайлик, О. Т. Антоняк, А. С. Волошиновский, И. В. Стефанский, М. С. Підзырайло, М. В. Токарівський, Журн. фіз. досл. **3**, 117 (1999).
 - [10] А. С. Волошиновский, В. Б. Михайлик, П. А. Родный, С. Н. Підзырайло, А. Х. Кхудро, Укр. фіз. журн. **37**, 991 (1992).
 - [11] E. L. Benitez, D. E. Husk, S. E. Schnatterly, C. Tarrio, J. Appl. Phys., **70**, 3256 (1991).
 - [12] E. Feldbah, M. Kamada, M. Kirm, A. Lushchik, Ch. Lushchik, I. Martinson, Phys. Rev. B **56**, 13908 (1997).
 - [13] А. С. Волошиновский, И. П. Пашук, Н. С. Підзырайло, Укр. фіз. журн. **30**, 851 (1985).
 - [14] A. P. Shpak, O. A. Glike, A. G. Dmitriev, P. A. Rodnyi, A. S. Voloshinovskii, S. M. Pidzyrailo, J. Electr. Spectr. **68**, 335 (1995).
 - [15] A. Ejiri, A. Hatano, K. Nakagawa, J. Phys. Soc. Jpn. **63**, 314 (1994).
 - [16] G. W. Rubloff, Phys. Rev. B **5**, 662 (1972).
 - [17] И. Ф. Коваль, В. Н. Лысенко, П. В. Мельник, Н. Г. Находкин, *Атлас ионизационных спектров* (Київ, Вища школа, 1989).
 - [18] M. Casalboni, U. M. Grassano, Phys. Chem. Solids **51**, 805 (1990).
 - [19] A. S. Voloshinovskii, V. B. Mikhailik, O. T. Antonyak, M. S. Mikhailik, P. A. Rodnyi, E. N. Mel'chakov, I. H. Munro, C. Mythen, D. Shaw, G. Zimmerer, J. Becker, M. Runne, Rad. Meas. **29**, 251 (1998).

LUMINESCENCE SPECTROSCOPY OF RbCaCl₃ CRYSTALS IN VACUUM ULTRAVIOLET REGION

M. S. Mikhailik

*The Ivan Franko State University of Lviv, Chair of Experimental Physics,
8 Kyrylo i Mefodii Str., Lviv, UA-290005, Ukraine*

The results on the luminescence studies of RbCaCl₃ crystals using synchrotron radiation in the 5–40 eV spectral region have been presented. The luminescence spectroscopy data confirm the exciton nature of the crystal intrinsic emission. The interpretation of the yield spectra features is proposed on the basis of the data on the tentative energy band scheme of the RbCaCl₃ crystals and regular mechanisms of relaxation of high-energy excitations in solids (inelastic photoelectron scattering, Auger-process, non-radiative decay at the defects).